

T-61.3010 Dигиталinen signaalinkäsittely ja suodatus

2. välikoe / tentti, ma 7.5.2007 klo 8-11. Salit B (A-M), M (N-Ö, non-Finnish).

Jos teet 2. välikokeen, vastaa tehtäviin 1-2. 2. vk on oikeus tehdä vain kerran joko 7.5. tai 15.5.

Jos teet tentin, vastaa tehtäviin 2-5. Tentti on oikeus tehdä vain kerran joko 7.5. tai 15.5.

Kirjoita päälimmäisen konseptin alkuun isolla vastaatko välikokeeseen vai tenttiin! Rastita myös monivalintalomakkeesta oikea kohta "tentti" tai "välikoe".

Tilaisuudessa ei saa olla omaa taulukkokirjaa. Funktiolaskin / graafinen laskin muistit tyhjennettynä sallittu. Tilaisuudessa jaetaan kurssin taulukkomoniste sekä palautuslomake monivalintatehtävään (joko 1 tai 5) varten.

Kaikki konseptit palautettava, suttupaperit erikseen sekä monivalintatehtävästä palautetaan erillinen A4-lomake. Tehtäväpaperin ja taulukkomonisteenvaihto on pitää.

Aloita uusi tehtävä uudelta sivulta. Kirjoita laskuissa käytettytä väliaineet mukaan.

Muista myös kurssipalaute, josta saa yhden pisteen sekä välikokeeseen että tenttiin. Täytä www.cis.hut.fi/Opinnot/T-61.3010/.

- 1) (VAIN VÄLIKOE, 14 x 1p, max 12 p) Monivalinta. Väittämässä on 1-4 oikeaa vastausta, mutta valitse yksi ja vain yksi. Täytä erillisille lomakkeelle, johon rastita myös, teetkö välikokeen vai tentin.

Oikea valinta +1 p, väärä valinta -0.5 p, ei valinta 0 p. Perusteluja ei tarvita. Vastaan niin moneen kuin haluat. Tehtävän maksimipistemäärä on 12 ja minimipistemäärä 0.

1.1 Mikä suotimista on lineaarivaiheinen?

- (A) $H(z) = 1/[1 + 2z^{-1} - 3z^{-2} + 2z^{-3} + z^{-4}]$
- (B) $h[n] = (0.5)^n \mu[n]$
- (C) $h[n] = 0.42 + 0.5 \cdot \cos(\pi n/M) + 0.08 \cdot \cos(2\pi n/M)$, kun $-M \leq n \leq M$, $M \in \mathbb{Z}_+$, ja $h[n] = 0$, kun $n < -M$ tai $n > M$.
- (D) $h[n] = 0.6\delta[n] + 0.4\delta[n-1]$

1.2 Kuvan 1(a) LTI-suodin, jossa vakiot A ja B ,

- (A) saadaan lineaarivaiheiseksi valitsemalla A ja B sopivasti positiivisten kokonaislukujen joukosta
- (B) suotimen siirtofunktio on $H(z) = 1/[1 - (A+B)z^{-1}]$
- (C) suotimen nollat ovat kohdissa $z_1 = -A$ ja $z_2 = -B$
- (D) mikään ylläolevista ei ole oikein

1.3 Kuvan 1(b) suodin, jossa $H_1(z) = 1 + z^{-1}$ ja $H_2(z) = 1 - z^{-1}$,

- (A) on ryhmäviiveeltään $\tau(\omega) = 1.5$, $\forall \omega$
- (B) ei ole lineaarivaiheinen
- (C) on ristikorakenteinen ("lattice")
- (D) on IIR-tyyppinen

1.4 Tarkastellaan ensimmäisen asteen IIR-suodinta

$$H(z) = \frac{1-\alpha}{2} \cdot \frac{1-z^{-1}}{1-\alpha z^{-1}}$$

jossa $-0.8 \leq \alpha \leq 0.8$. Valitse α niin, että suotimen amplitudivasteen $|H(e^{j\omega})|$ maksimiarvo saa suurimman mahdollisimman arvon. Tämän jälkeen suodin skaalataan vakiolla K niin että skaalatuun suotimen amplitudivasteen maksimiarvo on 1. Tällöin

- (A) $K = 0.8$

- (B) $K = 1$

- (C) $K = 3$

- (D) mikään ylläolevista ei ole oikein

1.5 Bilineaarimuunnos:

- (A) s-tason oikea puolitaso kuvautuu yksikköympyrän sisälle
- (B) s-tason taajuusakseli $j\Omega$ kuvautuu z-tason y-akseliksi
- (C) s-tasossa oleva epästabiili suodin on myös z-tasossa epästabili
- (D) toteutetaan sijoituksella $s = \frac{2}{T} \frac{1+z^{-1}}{1-z^{-1}}$, jossa T on näytteenottoväli

1.6 Analogisuodin $H(s) = \Omega/(s - \Omega)$, jossa taajuusväristymäkorjattu ("prewarped") rajataajuus $\Omega = k \cdot 0.5$, muutetaan digitaaliseksi $H(z)$ käyttäen bilineearimuunnosta. Digitaalinen suodin on

- (A) $H(z) = (-1)/(1 - 2k^{-1}z^{-1})$
- (B) $H(z) = (1/3) \cdot (1 + z^{-1})/(1 - (1/3)z^{-1})$
- (C) $H(z) = (1 + z^{-1})/(1 - z^{-1})$
- (D) $H(z) = (1 + z^{-1})/(1 - 3z^{-1})$

1.7 Matlabissa halutaan suunnitella digitaalinen eli elliptinen ylipäästösuođin, jonka estokaisista loppuu kohdassa 4000 Hz ja päästökaista alkauksista kohdassa 5000 Hz. Näytteenottotaujuus on 20000 Hz. Komentoa ellipord varten taajuudet pitää normalisoida Matlabia varten. Oikea komento on:

- (A) $[N, Wn] = \text{ellipord}(2*5000*\pi, 2*4000*\pi, 1, 40, 20000);$
- (B) $[N, Wn] = \text{ellipord}(0.2, 0.25, 1, 40, \text{'high'})$
- (C) $[N, Wn] = \text{ellipord}(0.5, 0.4, 1, 40)$
- (D) $[N, Wn] = \text{ellipord}(4000, 5000, 10000, \text{'HP'})$

1.8 Ideaalisen ylipäästösuođimen $H_{HP}(z)$ rajataajuus on $\omega_c = 3\pi/4$. Tällöin

- (A) $h_{HP}[0] = 0$
- (B) $h_{HP}[0] = 0.25$
- (C) $h_{HP}[0] = 0.75$
- (D) $h_{HP}[0] = 1$

1.9 Väitteen 1.8 impulssivasteesta $h_{HP}[n]$ saadaan helposti alipäästösuođin $h[n]$ kertomalla (moduloimalla) lukujonolla $(-1)^n$, eli $h[n] = h_{HP}[n] \cdot (-1)^n$. Mikä on suotimen $h[n]$ rajataajuus?

- (A) $\omega_c = \pi/4$
- (B) $\omega_c = \pi/2$
- (C) $\omega_c = 3\pi/4$
- (D) $\omega_c = \pi$

1.10 Diskreetti Fourier-muunnos (DFT) voidaan laskea tehokkaasti hyödyntäen muunnosten symmetrisyysominaisuksia. Kurssin pistelaskareissa laskettiin DFT:ä "radix-2 DIT FFT with modified butterfly computational module" -algoritmilla, joka on yksi monista FFT-algoritmeista.

Kuvassa 3 on kyseisen algoritmin laskennan kaa-viokuva, kun muunnettavan sekvenssin pituus on $N = 128$. Perhosyhtälöt ovat:

$$\begin{aligned} \Psi_{r+1}[\alpha] &= \Psi_r[\alpha] + W_N^l \Psi_r[\beta] \\ \Psi_{r+1}[\beta] &= \Psi_r[\alpha] - W_N^l \Psi_r[\beta] \end{aligned}$$

jossa $W_N = e^{-j2\pi/N}$.

Kun muunnettavana sekvenssinä on $x[n] = \{0, 1, 2, 3, \dots, 127\} = n$, niin mitä voidaan sanoa termistä $\Psi_3[87]$?

- (A) $\Psi_3[87] = -1 - j$
- (B) $\Psi_3[87] = -64 + 64j$
- (C) $\Psi_3[87] = -64 - 64j$
- (D) $\Psi_3[87] = 85 - 117j$

1.11 Tarkastellaan samaa rakennetta ja sekvenssiä kuin väittämässä 1.10. Mitkä ensimmäisen tason arvoista $\Psi_1[0], \dots, \Psi_1[127]$ vaikuttavat "ulostulotason" termin $\Psi_8[87]$ arvoon?

- (A) vain $\Psi_1[87]$

- (B) vain $\Psi_1[23]$ ja $\Psi_1[87]$

- (C) kaikki $\Psi_1[n]$, jossa $n = 0, \dots, 127$

- (D) mikään ylläolevista ei ole oikein

1.12 Tarkastellaan samaa rakennetta ja sekvenssiä kuin väittämässä 1.10. Laske summa $S = \Psi_6[0] + \Psi_6[32] + \Psi_6[64] + \Psi_6[96]$.

- (A) $S = 6$

- (B) $S = 192$

- (C) $S = 8128$

- (D) mikään ylläolevista ei ole oikein

1.13 Tutkitaan reaalisen sekvenssin $x[n]$ spektriä $|X(e^{j\omega})|$ kuvassa 2(a). Sekvenssi $x[n]$ syötetään monen näytteenottotaujuuden ("multirate") digitaalijärjestelmään $x[n] \rightarrow [\downarrow 4] \rightarrow y[n]$.

Mitä voidaan sanoa ulostulon spektristä (oletus: y-akselin skaalaukset oikein)?

- (A) mikään ylläolevista ei ole oikein

- (B) ulostulon $y[n]$ spektri on kuvassa 2(b)

- (C) ulostulon $y[n]$ spektri on kuvassa 2(c)

- (D) ulostulon $y[n]$ spektri on kuvassa 2(d)

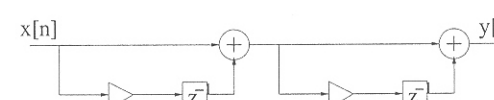
1.14 Digitaalisen sekvenssin näytteenottotaujuutta halutaan nostaa (7/5)-osaan alkuperäisestä. Kun käytössä on sopivan "anti-alias" ja "anti-imaging" suotimet $H_i(z)$, niin mikä järjestää tuottaa oikean lopputuloksen?

- (A) $x[n] \rightarrow [\uparrow 7] \rightarrow [H(z)] \rightarrow [\downarrow 5] \rightarrow y[n]$

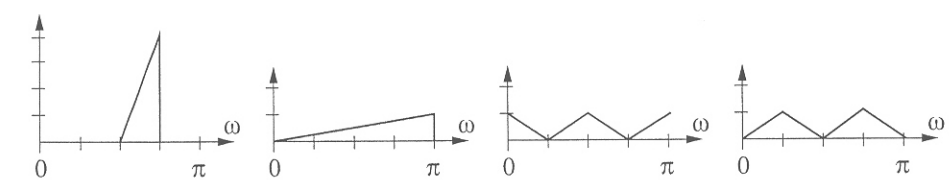
- (B) $x[n] \rightarrow [\downarrow 5] \rightarrow [H(z)] \rightarrow [\uparrow 7] \rightarrow y[n]$

- (C) $x[n] \rightarrow [H_D(z)] \rightarrow [\downarrow 5] \rightarrow [\uparrow 7] \rightarrow y[n]$

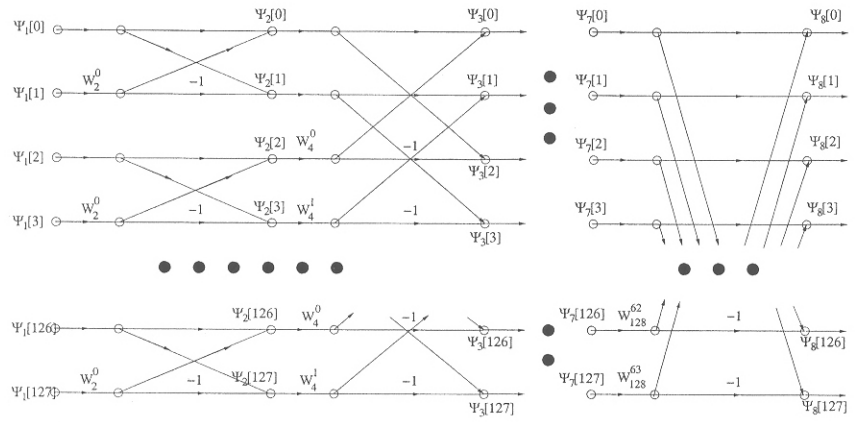
- (D) $x[n] \rightarrow [\uparrow 7] \rightarrow [\downarrow 5] \rightarrow [H_I(z)] \rightarrow y[n]$



Kuva 1: (a) ja (b): Monivalintatehtävien 1.2 ja 1.3 kuvia.



Kuva 2: (a) $|X(e^{j\omega})|$, (b) (B) , (c) (C) ja (d) (D) : Monivalintatehtävän 1.13 kuvia.



Kuva 3: Monivalintatehtävien 1.10 – 1.12 ja 5.12 – 5.13 kuva.

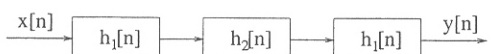
- 2) (VÄLIKOE ja TENTTI, 6p) Essee: Äärellinen laskentatarkkuus ("finite wordlength") ja sen vaikutukset.
Ohjeistus: Käytä selkeää ja tarpeeksi isoa käsialaa. Jaottele tekstisi kappaleisiin. Jos hahmottelet kuvia, muista selittää ne. Luettavuus on yksi arviointikriteeri.
- 3) (VAIN TENTTI, 6p) Äänisignaalista, jonka näytteenottotauajus $f_T = 20$ kHz, on laskettu erilaisia taajuusesityksiä ja havaittu, että hyötsignaali on taajuuskisla $0 \dots 7000$ Hz ja häiriösignaali $8000 \dots f_T/2$ Hz. Suunnitelan FIR-tyyppinen alipäästösuoitin ikkunamenetelmällä. Valitaan menetelmässä tarvittava -6 dB rajataujuus, joka vastaa siis ideaalisen suotimen rajataujuutta, kohtaan $f_c = 7500$ Hz ja siirtymäkaistan ("transition band") leveydeksi $\Delta f = 1000$ Hz. Käytetään ikkunointiin Blackman-ikkunaa, jonka tiedot löytyvät taulukosta 1.

- Suotimen asteluvun kasvattaminen kaventaa siirtymäkaistan leveyttä. Arvioi sopiva asteluku N käyttäen taulukkoa 1.
- Kirjoita ideaalisen alipäästösuoitimen impulsivasteeseen lauseke $h_{\text{ideal}}[n]$. Laske ja ilmoita numeroisesti kolmen merkitsevän luvun tarkkuudella (esim. $-140, 2.31, 0.00621$) suotimen impulsivasteen arvot $h_{\text{ideal}}[-7], h_{\text{ideal}}[0], h_{\text{ideal}}[7]$ ja $h_{\text{ideal}}[2007]$.
- Käytä Blackman-ikkunaan toteuta FIR-suodin $h_{\text{FIR}}[n]$ (a)-kohdan asteluvulla. Laske ja ilmoita numeroisesti kolmen merkitsevän luvun tarkkuudella suotimen impulsivasteen arvot $h_{\text{FIR}}[-7], h_{\text{FIR}}[0], h_{\text{FIR}}[7]$ ja $h_{\text{FIR}}[2007]$.

Window	$w[n], -M \leq n \leq M$	Minimum stopband attenuation	Length of transition band $\Delta\omega$
Blackman	$0.42 + 0.5 \cos(\frac{2\pi n}{2M}) + 0.08 \cos(\frac{4\pi n}{2M})$	75.3 dB	$5.56\pi/M$

Taulukko 1: Tehtävä 3: Blackman-ikkunafunktion ominaisuuksia.

- 4) (VAIN TENTTI, 6p) Tutkiitaan kolmen LTI-järjestelmän sarjaankytkentää kuvassa 4. Tiedetään, että $h_1[n] = \delta[n-1] - \delta[n-2]$ ja koko kaskaadijärjestelmä $h[n] = 2\delta[n] - 5\delta[n-1] + 5\delta[n-2] - 3\delta[n-3] + \delta[n-4]$.
- Mikä on suotimen $h_2[n]$ impulsivaste? Muista näyttää tarvittavat välivaiheet!
 - Piirrä $h_1[n]$:n ja $h_2[n]$:n napanollakuviot sekä hahmottele niiden amplitudivasteet $|H_i(e^{j\omega})|$.
 - Mitä voit sanoa järjestelmien $h_1[n]$, $h_2[n]$ ja $h[n]$ stabiiliudesta ja kausaalisuudesta näiden ominaisuuksien määritelmiin perustuen? Osoita.



Kuva 4: Tehtävän 4 kaskaadikytkentä.

5) (VAIN TENTTI, 14 x 1p, max 12 p) Monivalinta. Väittämässä on 1-4 oikeaa vastausta, mutta valitse yksi ja vain yksi. Täytä erillisille lomakkeelle, johon rastita myös, teetkö välikokeen vai tentin.

Oikea valinta +1 p, väärä valinta -0.5 p, ei valintaa 0 p. Perusteluja ei tarvita. Vastaan niin moneen kuin haluat. Tehtävän maksimipistemäärä on 12 ja minimimäärä 0.

5.1 Tutkiitaan diskreettiaikaista järjestelmää $y[n] = 4x[3n+2] + 1$:

- (A) se on lineaarinen
- (B) se on aikainvariantti
- (C) se on kausaalinen
- (D) mikään ylläolevista ei ole oikein

5.2 Sekvenssin $x[n] = \cos(\pi n/3) + 2 \sin(0.25\pi n) - \sin(2\pi n/16)$ perusjakso N_0 :

- (A) $N_0 = 2$
- (B) $N_0 = 6$
- (C) $N_0 = 48$
- (D) $N_0 = 768$

5.3 Sekvenssi $x[n] = \cos(0.25\pi n^2)$

- (A) ei ole jaksollinen
- (B) on jaksollinen, mutta perusjakson pituus on ∞
- (C) perusjakso $N_0 = 8$
- (D) mikään ylläolevista ei ole oikein

5.4 Mikä on kausaalinen ja stabiili siirtofunktio

$$H(z) = \frac{1-z^{-2}}{1+0.5z^{-1}}$$

käänteismuunnon $h[n]$ arvo kohdassa $n = 3$ kolmen merkitsevän numeron tarkkuudella?

- (A) $h[3] = -0.952$
- (B) $h[3] = -0.375$
- (C) $h[3] = 0.375$
- (D) $h[3] = 0.952$

5.5 Katso jatkuva-aikaisen reaalisen signaalin spektri $|X(j\Omega)|$ kuvan 5 ylärivillä. Näytteistetään taajuudella $f_T = 10$ kHz. Sekvenssin $x[n]$ spektri on kuvan 5 alarivin

- (A) (a)
- (B) (b)
- (C) (c)
- (D) (d)

5.6 Jotta signaali ei vierastu (aliasing) näytteistykseen, näytteenottovälin T_s tulee olla

- (A) vähintään kymmenen kertaa niin suuri kuin signaalikorkeimman taajuuden taajuus
- (B) vähintään kaksi kertaa niin pitkä kuin signaalikorkeimman taajuuden perusjakso T_0
- (C) enintään puolet signaalikorkeimman taajuuden perusjakosta T_0
- (D) mikään ylläolevista ei ole oikein

5.7 LTI-suotimen $H(z)$ napanollakuvio kuvassa 6(a) vastaa parhaiten magnitudivastetta

- (A) kuvassa 7(a)
- (B) kuvassa 7(b)
- (C) kuvassa 7(c)
- (D) kuvassa 7(d)

5.8 LTI-suotimen $H(z)$ magnitudivaste kuvassa 6(b) vastaa parhaiten napanollakuvia

- (A) kuvassa 8(a)

- (B) kuvassa 8(b)

- (C) kuvassa 8(c)

- (D) kuvassa 8(d)

5.9 Suotimen taajuusvaste on $H(e^{j\omega}) = 1 + 0.1e^{-8j\omega}$

- (A) impulsivaste on 8 merkkiä pitkä
- (B) suotimen nollat ovat tasavälisesti samalla ympyrän kaarella
- (C) vaihevaste on lineaarinen
- (D) suotimen asteluku on 2

5.10 Tutkiitaan siirtofunktio $H(z) = 1/(1 - 5z^{-1} + 6z^{-2})$. Valitsemalla suppenemisalue (ROC, "region of convergence")

- (A) $|z| < 2$ saadaan stabiili suodin $h[n]$
- (B) $|z| < 3$ saadaan stabiili suodin $h[n]$
- (C) $|z| > 3$ saadaan stabiili suodin $h[n]$, joka on myös kausalinen
- (D) tavalla tai toisella – suotimesta ei saada samalla kausalista ja stabiilia

5.11 Erään (monotonisen) ylipäästösuoitimen siirtofunktio $H(z) = K \cdot (1 - 2z^{-1} + z^{-2})$. Jotta suotimen maksimi on skaalattu ykköseksi, niin kerroin K pitää olla

- (A) $K = 0.5$
- (B) $K = 1$
- (C) $K = 2$
- (D) mikään ylläolevista ei ole oikein

5.12 Diskreetti Fourier-muunnos (DFT) voidaan laskea tehokkaasti hyödyntäen muunnosten symmetrisyyysominaisuuksia.

Kuvassa 3 on erään FFT-algoritmin, "radix-2 DIT FFT with modified butterfly computational module" algoritmin laskennan kaaviokuva, kun muunnettavan sekvenssin pituus on $N = 128$. Ns. perhosyhtälöt ovat:

$$\Psi_{r+1}[\alpha] = \Psi_r[\alpha] + W_N^l \Psi_r[\beta]$$

$$\Psi_{r+1}[\beta] = \Psi_r[\alpha] - W_N^l \Psi_r[\beta]$$

jossa $W_N = e^{-j2\pi/N}$.

Kun muunnettavana sekvenssinä on $x[n] = \{0, 1, 2, 3, \dots, 127\} = n$, niin mitä voidaan sanoa termistä $\Psi_3[73]$?

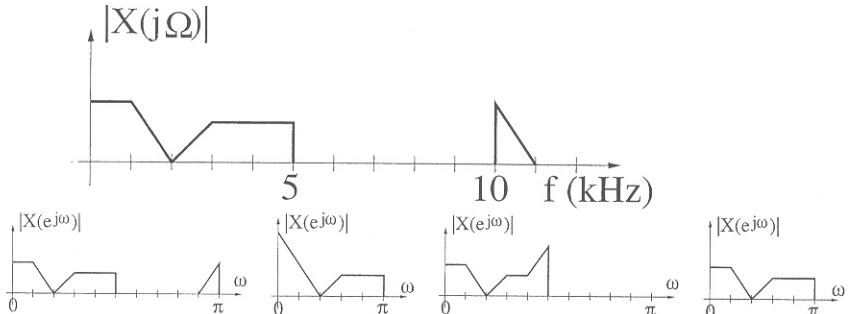
- (A) $\Psi_3[73] = -1 + j$
- (B) $\Psi_3[73] = -64 + 64j$
- (C) $\Psi_3[73] = -64 - 64j$
- (D) $\Psi_3[73] = -73 + 105j$

5.13 Tarkastellaan samaa rakennetta ja sekvenssiä kuin väittämässä 5.12. Laske summa $S = \Psi_6[0] + \Psi_6[32] + \Psi_6[64] + \Psi_6[96]$.

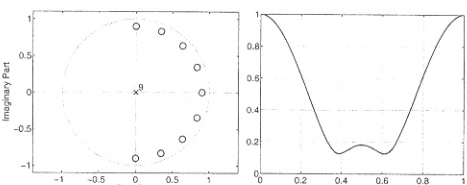
- (A) $S = 6$
- (B) $S = 192$
- (C) $S = 8128$
- (D) mikään ylläolevista ei ole oikein

5.14 Digitaalisen sekvenssin näytteenottotauaja on haluttu 500 ns. Nostaa näytteenottoa 7/5-osaan alkuperäisestä. Kun käytössä on sopivat "anti-alias" ja "anti-imaging" suotimet $H_i(z)$, niin mikä järjestely tuottaa oikean lopputuloksen?

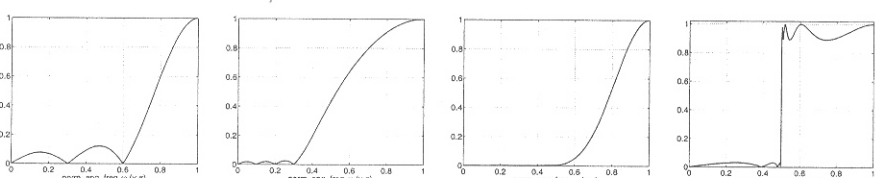
- (A) $x[n] \rightarrow [\uparrow 7] \rightarrow [H(z)] \rightarrow [\downarrow 5] \rightarrow y[n]$
- (B) $x[n] \rightarrow [\downarrow 5] \rightarrow [H(z)] \rightarrow [\uparrow 7] \rightarrow y[n]$
- (C) $x[n] \rightarrow [H_D(z)] \rightarrow [\downarrow 5] \rightarrow [\uparrow 7] \rightarrow y[n]$
- (D) $x[n] \rightarrow [H_I(z)] \rightarrow [\uparrow 7] \rightarrow [\downarrow 5] \rightarrow y[n]$



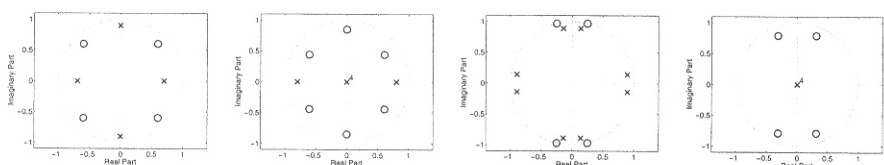
Kuva 5: Monivalintatehtävän 5.5 kuvia. Ylärivit: jatkuva $X(j\Omega)$, alarivi: vaihtoehdot (A) , (B) , (C) , (D)



Kuva 6: (a) ja (b): Monivalintatehtävien 5.7 ja 5.8 kuvia.



Kuva 7: (a), (b), (c) ja (d): Monivalintatehtävien 5.7 kuvia.



Kuva 8: (a), (b), (c) ja (d): Monivalintatehtävien 5.8 kuvia.

Disclaimer! Notations, e.g. ω or Ω , may vary from book to book, or from exam paper to other.

Even and odd functions:

$$\text{Even}\{x(t)\} = 0.5 \cdot [x(t) + x(-t)]$$

$$\text{Odd}\{x(t)\} = 0.5 \cdot [x(t) - x(-t)]$$

Roots of second-order polynomial:

$$ax^2 + bx + c = 0$$

$$x = (-b \pm \sqrt{b^2 - 4ac})/(2a)$$

Logarithms:

$$\log((A \cdot B \cdot C)^D) = D \cdot (\log A + \log B - \log C)$$

$$\log_a b = \log_b a / \log_a e$$

$$\text{decibels: } 10 \log_{10}(B/B_0), 20 \log_{10}(A/A_0)$$

$$10 \log_{10}(0.5) \approx -3.01 \text{ dB}, 20 \log_{10}(0.5) \approx -6.02 \text{ dB}$$

$$20 \log_{10}(0.1) = -20 \text{ dB}, 20 \log_{10}(0.01) = -40 \text{ dB}$$

Complex numbers, unit circle:

$$i \equiv j = \sqrt{-1} = -1/j$$

$$z = x + jy = r e^{j\theta}$$

$$r = \sqrt{x^2 + y^2}$$

$$\theta = \arctan(y/x) + n\pi, (n=0, \text{if } x > 0, n=1, \text{if } x < 0)$$

$$x = r \cos(\theta), y = r \sin(\theta)$$

$$e^{j\theta} = \cos(\theta) + j \sin(\theta) \quad (\text{Euler's})$$

$$\cos(\theta) = (1/2)(e^{j\theta} + e^{-j\theta}), \sin(\theta) = (1/2j)(e^{j\theta} - e^{-j\theta})$$

$$z_1 \cdot z_2 = r_1 r_2 e^{j(\theta_1 + \theta_2)}, z_1/z_2 = (r_1/r_2) e^{j(\theta_1 - \theta_2)}$$

$$z^n = r^n e^{jn\theta} = r^n (\cos(\theta) + j \sin(\theta))^n = r^n (\cos(n\theta) + j \sin(n\theta))$$

$$\sqrt[N]{z} = \sqrt[N]{r} e^{j\theta} = |\sqrt[N]{r}| e^{j(\theta+2\pi k)/N}, k = 0, 1, 2, \dots, N-1$$

Trigonometric functions:

$$1^\circ = \pi/180 \text{ radians} \approx 0.01745 \text{ rad}, 1 \text{ rad} = 180^\circ/\pi \approx 57.30^\circ$$

$$\text{sinc}(\theta) = \sin(\pi\theta)/(\pi\theta)$$

$$\sin(\theta)/\theta \rightarrow 1, \text{ when } \theta \rightarrow 0; \text{sinc}(\theta) \rightarrow 1, \text{ when } \theta \rightarrow 0$$

$$\cos^2(\theta) + \sin^2(\theta) = 1$$

$$\cos^2(\theta) + \sin^2(\theta) = 1$$

$$\sin(\theta) = \theta - \frac{\theta^3}{3!} + \frac{\theta^5}{5!} - \dots + (-1)^n \frac{\theta^{2n+1}}{(2n+1)!} + \dots \quad (\text{Taylor})$$

$$\cos(\theta) = 1 - \frac{\theta^2}{2!} + \frac{\theta^4}{4!} - \dots + (-1)^n \frac{\theta^{2n}}{(2n)!} + \dots \quad (\text{Taylor})$$

$$\begin{array}{|c|c|c|c|} \hline \theta & 0 & \pi/6 & \pi/4 & \pi/3 \\ \hline \sin(\theta) & 0 & 0.5 & \sqrt{2}/2 & \sqrt{3}/2 \\ \hline \cos(\theta) & 1 & \sqrt{3}/2 & \sqrt{2}/2 & 0.5 \\ \hline \end{array}$$

$$\pi \approx 3.1416, \sqrt{3}/2 \approx 0.8660, \sqrt{2}/2 \approx 0.7071$$

Geometric series:

$$\sum_{n=0}^{+\infty} a^n = \frac{1}{1-a}, |a| < 1$$

$$\sum_{n=0}^N a^n = \frac{1-a^{N+1}}{1-a}, |a| < 1$$

Continuous-time unit step and unit impulse fun.:

$$\mu(t) = \begin{cases} 1, & t > 0 \\ 0, & t \leq 0 \end{cases}$$

$$\delta_\Delta(t) = \frac{d}{dt} \mu_\Delta(t), \quad \delta(t) = \lim_{\Delta \rightarrow 0} \delta_\Delta(t) \quad (\text{Dirac's delta})$$

$$\int_{-\infty}^{\infty} \delta(t) dt = 1$$

$$\int_{-\infty}^{\infty} \delta(t-t_0)x(t) dt = x(t_0)$$

In DSP notation $2\pi\delta(t)$ is computed $2\pi \int \delta(t) \cdot 1 dt = 2\pi$, when $t = 0$, and = 0 elsewhere.

Discrete-time unit impulse and unit step functions:

$$\delta[n] = \begin{cases} 1, & n = 0 \\ 0, & n \neq 0 \end{cases} \quad \mu[n] = \begin{cases} 1, & n \geq 0 \\ 0, & n < 0 \end{cases}$$

Convolution

Convolution is commutative, associative and distributive.

$$y(t) = h(t) \otimes x(t) = \int_{-\infty}^{\infty} h(\tau)x(t-\tau) d\tau$$

$$y[n] = h[n] \otimes x[n] = \sum_{k=-\infty}^{+\infty} h[k]x[n-k]$$

$$y_C[n] = h[n] \otimes x[n] = \sum_{k=0}^{N-1} h[k]x[< n-k >_N]$$

Correlation:

$$r_{xy}[l] = \sum_{n=-\infty}^{+\infty} x[n]y[n-l] = x[l] \otimes y[-l]$$

$$r_{xx}[l] = \sum_{n=-\infty}^{+\infty} x[n]x[n-l]$$

Mean and variance of random signal:

$$m_X = E[X] = \int x p_X(x) dx$$

$$\sigma_X^2 = \int (x - m_X)^2 p_X(x) dx = E[X^2] - m_X^2$$

Frequencies, angular frequencies, periods:

Here f_s (also f_T later) is the sampling frequency

$$\text{Frequency } f, [f] = \text{Hz} = 1/\text{s}$$

$$\text{Angular frequency } \Omega = 2\pi f = 2\pi/T, [\Omega] = \text{rad/s}$$

$$\text{Normalized angular frequency}$$

$$\omega = 2\pi/\Omega, \omega_s = 2\pi f/f_s, [\omega] = \text{rad/sample}$$

Normalized frequency in Matlab

$$f_{MATLAB} = 2f/f_s, [f_{MATLAB}] = 1/\text{sample}$$

Integral transform properties

Here all integral transforms share some basic properties. Examples given with CTFT, $x[n] \leftrightarrow X(e^{j\omega})$, $x_1[n] \leftrightarrow X_1(e^{j\omega})$, and $x_2[n] \leftrightarrow X_2(e^{j\omega})$ are time-domain signals with corresponding transform-domain spectra. a and b are constants.

Linearity. All transforms are linear.

$$ax_1[n] + bx_2[n] \leftrightarrow aX_1(e^{j\omega}) + bX_2(e^{j\omega})$$

Time-shifting. There is a kernel term in transform, e.g., $x[n-k] \leftrightarrow e^{-jk\omega} X(e^{j\omega})$ Frequency-shifting. There is a kernel term in signal e.g., $e^{j\omega_k n} x[n] \leftrightarrow X(e^{j(\omega - \omega_k)})$

Conjugate symmetry.

$$x^*[n] \leftrightarrow X^*(e^{-j\omega})$$

$$\text{If } x[n] \in \mathbb{R}, \text{ then}$$

$$X(e^{j\omega}) = X^*(e^{-j\omega})$$

$$|X(e^{j\omega})| = |X(e^{-j\omega})|$$

$$\angle X(e^{j\omega}) = -\angle X(e^{-j\omega})$$

If $x[n] \in \mathbb{R}$ and even, then $X(e^{j\omega}) \in \mathbb{R}$ and even.If $x[n] \in \mathbb{C}$ and odd, then $X(e^{j\omega})$ purely $\in \mathbb{C}$ and odd.Time reversal. Transform variable is reversed, e.g., $x[-n] \leftrightarrow X(e^{-j\omega})$ Differentiation. In time and frequency domain, e.g., $x[n] - x[n-1] \leftrightarrow (1 - e^{-j\omega}) X(e^{j\omega})$

$$nx[n] \leftrightarrow j \frac{d}{d\omega} X(e^{j\omega})$$

and multiplication property: vice versa

$$x_1[n] \cdot x_2[n] \leftrightarrow \frac{1}{2\pi} \int_{2\pi} X_1(e^{j\omega}) X_2(e^{j(\omega - \omega)}) d\theta$$

Parseval's relation. Energy in signal and spectral components:

$$\sum |x[n]|^2 = \frac{1}{2\pi} \int_{2\pi} |X(e^{j\omega})|^2 d\omega$$

Integral transforms

Definitions given in first two lines of each type. Some common pairs as well as properties are listed. See math reference book for complete tables.

Fourier-series of continuous-time periodic signals:

$$x(t) = \sum_{k=-\infty}^{\infty} a_k e^{jk\Omega_0 t}$$

$$a_k = \frac{1}{T} \int_T x(t) e^{-jk\Omega_0 t} dt$$

$$x(t-t_0) \leftrightarrow a_k e^{jk\Omega_0 t_0}$$

$$e^{jM\Omega_0 t} x(t) \leftrightarrow a_{k-M}$$

$$\int_T x_a(\tau) x_b(t-\tau) d\tau \leftrightarrow T a_k b_k$$

$$x_a(t) x_b(t) \leftrightarrow \sum_l a_l b_{l-M}$$

$$\frac{d}{dt} x(t) \leftrightarrow jk\Omega_0 a_k$$

Fourier-series of discrete-time periodic sequences:

$$x[n] = \sum_{k=(N)} a_k e^{jk\omega_0 n}, \quad x[n] \text{ periodic with } N_0$$

$$a_k = \frac{1}{N} \sum_{n=(N)} x[n] e^{-jk\omega_0 n}, \quad a_k \text{ periodic with } N_0$$

$$x[n-M] \leftrightarrow a_k e^{jk\omega_0 M}$$

$$e^{jM\omega_0 n} x[n] \leftrightarrow a_{k-M}$$

Continuous-time Fourier-transform (CTFT):

$$x(t) = \frac{1}{2\pi} \int_{-\infty}^{\infty} X(j\Omega) e^{j\Omega t} d\Omega$$

$$X(j\Omega) = \int_{-\infty}^{\infty} x(t) e^{-j\Omega t} dt$$

$$x(t-t_0) \leftrightarrow e^{j\Omega t_0} X(j\Omega)$$

$$e^{j\Omega_0 t} x(t) \leftrightarrow X(j(\Omega - \Omega_0))$$

$$x_a(t) \otimes x_b(t) \leftrightarrow X_a(j\Omega) X_b(j\Omega)$$

$$x_a(t) x_b(t) \leftrightarrow \frac{1}{2\pi} X_a(j\Omega) \otimes X_b(j\Omega)$$

$$\frac{d}{dt} x(t) \leftrightarrow j\Omega X(j\Omega)$$

$$tx(t) \leftrightarrow j \frac{d}{d\Omega} X(j\Omega)$$

$$e^{j\Omega_0 t} \leftrightarrow 2\pi\delta(\Omega - \Omega_0)$$

$$\cos(\Omega_0 t) \leftrightarrow \pi[\delta(\Omega - \Omega_0) + \delta(\Omega + \Omega_0)]$$

$$\sin(\Omega_0 t) \leftrightarrow j\pi[\delta(\Omega + \Omega_0) - \delta(\Omega - \Omega_0)]$$

$$x(t) = 1 \leftrightarrow 2\pi\delta(\Omega)$$

$$x(t) = \begin{cases} 1, & |t| < T_1 \\ 0, & |t| > T_1 \end{cases} \leftrightarrow \frac{2\sin(\Omega T_1)}{\Omega}$$

$$\frac{\sin(Wt)}{\pi t} \leftrightarrow X(j\Omega) = \begin{cases} 1, & |\Omega| < W \\ 0, & |\Omega| > W \end{cases}$$

$$\delta(t) \leftrightarrow 1$$

$$\delta(t-t_0) \leftrightarrow e^{j\Omega t_0}$$

$$e^{-at} \mu[n] \leftrightarrow \frac{1}{a+j\Omega}, \text{ where } \text{Real}\{a\} > 0$$

Discrete-time Fourier-transform (DTFT):

$$x[n] = \frac{1}{2\pi} \int_{2\pi} X(e^{j\omega}) e^{j\omega n} d\omega$$

$$X(e^{j\omega}) = \sum_{n=-\infty}^{\infty} x[n] e^{-jn\omega}, \quad X(e^{j\omega}) \text{ periodic } 2\pi$$

$$x[n-k] \leftrightarrow e^{-jk\omega} X(e^{j\omega})$$

$$e^{j\omega_0 n} x[n] \leftrightarrow X(e^{j(\omega - \omega_0)})$$

$$x_1[n] \otimes x_2[n] \leftrightarrow X_1(e^{j\omega}) \cdot X_2(e^{j\omega})$$

$$x_1[n] \cdot x_2[n] \leftrightarrow \frac{1}{2\pi} \int_{2\pi} X_1(e^{j\omega}) X_2(e^{j(\omega - \omega)}) d\theta$$

$$nx[n] \leftrightarrow j \frac{d}{d\omega} X(e^{j\omega})$$

$$e^{j\omega_0 n} \leftrightarrow 2\pi \sum_l \delta(\omega - \omega_0 - 2\pi l)$$

$$\cos(\omega_0 n) \leftrightarrow \pi \sum_l [\delta(\omega - \omega_0 - 2\pi l) + \delta(\omega + \omega_0 - 2\pi l)]$$

$$\sin(\omega_0 n) \leftrightarrow j\pi \sum_l [\delta(\omega + \omega_0 - 2\pi l) - \delta(\omega - \omega_0 - 2\pi l)]$$

$$x[n] = 1 \leftrightarrow 2\pi \sum_l \delta(\omega - 2\pi l)$$

$$x[n] = \begin{cases} 1, & |n| \leq N_1 \\ 0, & |n| > N_1 \end{cases} \leftrightarrow \frac{\sin(\omega_1 n + 0.5\pi))}{\sin(\omega/2)}$$

$$\frac{\sin(Wn)}{\pi n} = \frac{W}{\pi} \text{sinc}(\frac{Wn}{\pi}) \leftrightarrow X(e^{j\omega}) = \begin{cases} 1, & 0 \leq |\omega| \leq W \\ 0, & W < |\omega| \leq \pi \end{cases}$$

$$\delta[n] \leftrightarrow 1$$

$$\delta[n-k] \leftrightarrow e^{-jk\omega}$$

$$a^n \mu[n] \leftrightarrow \frac{1}{1-ae^{-j\omega}}, |a| < 1$$

N-point Discrete Fourier-transform (DFT):

Connection to DTFT: $X[k] = X(e^{j\omega})|_{\omega=2\pi k/N}$

$$W_N = e^{-j2\pi/N}$$

$$x[n] = \frac{1}{N} \sum_{k=0}^{N-1} X[k] W_N^{-kn}, \quad 0 \leq n \leq N-1$$

$$X[k] = \sum_{n=0}^{N-1} x[n] W_N^{kn}, \quad 0 \leq k \leq N-1$$

$$x[-n-n_0 > N] \leftrightarrow W_N^{kn_0} X[k]$$

$$W_N^{Nk_0} x[n] \leftrightarrow X[-k < k - k_0 > N]$$

$$y_C[n] = h[n] \otimes x[n] \leftrightarrow H[k] \cdot X[k] = Y[k]$$

Laplace transform:

Convergence with a certain ROC (region of convergence).

Connection to continuous-time Fourier-transform: $s = j\Omega$

$$x(t) = \frac{1}{2\pi} \int_{-\infty}^{\infty} X(s) e^{st} ds$$

$$X(s) = \int_{-\infty}^{\infty} x(t) e^{-st} dt$$

z-transform:

Convergence with a certain ROC (region of convergence).

Connection to discrete-time Fourier-transform: $z = e^{j\omega}$

$$x[n] = \frac{1}{2\pi} \oint_{\Gamma} X(z) z^{n-1} dz \quad C \text{ in ROC of } X(z)$$

$$X(z) = \sum_{n=-\infty}^{\infty} x[n] z^{-n}$$

$$x[n-k] \leftrightarrow z^{-k} X(z)$$

$$x_1[n] \otimes x_2[n] \leftrightarrow X_1(z) \cdot X_2(z)$$

$$\delta[n] \leftrightarrow 1, \quad \text{ROC all } z$$

$$\delta[n-k] \leftrightarrow z^{-k}, \quad \text{all } z, \text{ except } 0 (k > 0) \text{ or } \infty (k < 0)$$

$$\mu[n] \leftrightarrow \frac{1}{1-z^{-1}}, \quad |z| > 1$$

$$a^n \mu[n] \leftrightarrow \frac{1}{1-az^{-1}}, \quad |z| > |a|$$

$$na^n \mu[n] \leftrightarrow \frac{1}{(1-az^{-1})^2}, \quad |z| > |a|$$

$$(n+1)a^n \mu[n] \leftrightarrow \frac{1}{(1-az^{-1})^2}, \quad |z| > |a|$$

$$r^n \cos(\omega_0 n) \mu[n] \leftrightarrow \frac{1}{1-2r \cos(\omega_0) z^{-1} + r^2 z^{-2}}, \quad |z| > |r|$$

$$r^n \sin(\omega_0 n) \mu[n] \leftrightarrow \frac{r \sin(\omega_0) z^{-1}}{1-2r \cos(\omega_0) z^{-1} + r^2 z^{-2}}, \quad |z| > |r|$$

LTI filter analysis

Stability $\sum_n |h[n]| < \infty$; unit circle belongs to ROCCausality $h[n] = 0, n < 0$; ∞ belongs to ROCUnit step response $s[n] = \sum_{k=-\infty}^n h[k]$ Causal transfer function of order M : $H(z) = \frac{B(z)}{A(z)} = K \cdot \frac{\sum_{n=0}^M b_n z^{-n}}{\sum_{n=0}^N a_n z^{-n}}$

$$Zeros d_m: B(z) = 0; \text{ Poles } p_n: A(z) = 0$$

Frequency, magnitude/amplitude, phase response, $z \leftarrow e^{j\omega}$

$$H(e^{j\omega}) = |H(e^{j\omega})| e^{j\angle H(e^{j\omega})}$$

$$H(e^{j\omega}) = H(z)|_{z=e^{j\omega}}$$

$$H[k] = H(e^{j\omega})|_{\omega=2\pi k/N}$$

$$\text{Group delay } \tau(\omega) = -\frac{d}{d\omega} \angle H(e^{j\omega})$$

Important transform pairs and properties:

$$a[n-k] \leftrightarrow a e^{-jk\omega} \leftrightarrow a z^{-k}$$

$$a^n \mu[n] \leftrightarrow 1/[1 - a e^{-j\omega}] \leftrightarrow 1/[1 - a z^{-1}]$$

$$h[n] = \sum_i (k_i \cdot a$$